Մեխանիկա

XXIV, No 3, 1971

Механика

#### О. М. САПОНДЖЯН

# ПОСТРОЕНИЕ КОНФОРМНО ОТОБРАЖАЮЩИХ ФУНКЦИЙ ДЛЯ НЕКОТОРЫХ ДВУСВЯЗНЫХ ОБЛАСТЕЙ С ПРИМЕНЕНИЕМ К ЗАДАЧЕ КРУЧЕНИЯ

В работе указывается способ построения функций, конформно отображающих область кольца на некоторые двусвязные области, ограниченные простыми контурами. При построении приближенных отображающих функций применен известный метод Л. В. Канторовича 1].

Построенные отображающие функции могут применяться при решении ряда задач теории упругости и пластичности [2].

В качестве примера применения построенных функций рассмотрена задача о кручении призматического стержня с сечением, ограниченным извие окружностью, а изнутри—прямолинейным разрезом.

#### § 1. Отображение области кольца на область с прямолинейным разрезом

1. Обозначим комплексную координату области кольца через z=x+iy. Впутренний радиус кольца пусть будет y=x<1, а внешний y=1. В области y=1 имеется прямолинейный разрез идоль конечного отрезка прямой, уравнение которой пусть будет y=mx (y=x) или и комплексной форме

$$\bar{z} = \frac{(1 - im)^2}{1 + m^2} z$$
  $(\bar{z} = x - iy)$  (1.1)

Конформное отображение области кольца на область G осуществляется рядом Лорана. Используя только условие перехода внутренней окружности кольца на разрез (1.1), указанный ряд приводим к виду

$$z = o(\zeta) = \sum_{k=1}^{\infty} \left[ a_k z^k + \frac{1 + m^2}{1 + m^2} \overline{a}_k \frac{z^{*k}}{z^k} \right]$$
 (1.2)

rae  $a_i = 0$ ,  $\lim a_i = 0$ .

Функция (1.2) обеспечивает паличие разреза (1.1) в С независимо от значения коэффициентов а. Последние определяются из услония перехода впешней окружности кольца на внешний контур области G. 2. В качестве первого примера определения a, рассмотрим случай, когда область G есть бесконечная полоса с разрезом вдоль отрезка оси x длиной 2d (фиг. 1). В этом случае в (1.2) надо положить m=0, a=a, . 0. Из условия перехода коптура y=b на внешнюю полуокружность кольца при  $0\leqslant b\leqslant \pi$ , то есть из условия

$$\sum_{1} \alpha_{2k+1} (1-i^{4k+2}) \sin(2k+1) \theta = b$$

определяем коэффициенты

$$a_{2k+1} = \frac{4b}{\pi (2k+1) (1-k^{1k+2})}$$

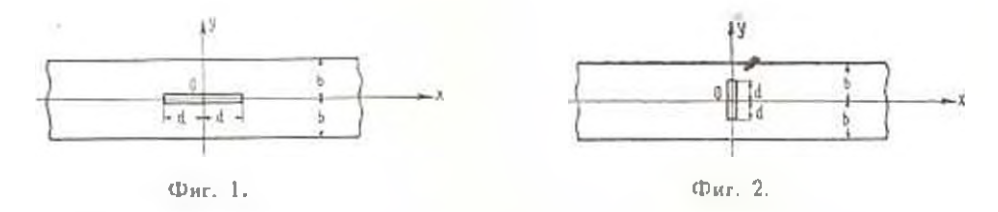
При этом отображающая функция (1.2) примет вид

$$z = o(3) = \frac{4b}{\pi} \sum_{k=0}^{\infty} \frac{\zeta^{2k+1} + \frac{\lambda^{2k+2}}{\zeta^{2k-1}}}{(2k+1)(1-\lambda^{2k+2})}$$
 (1.3)

Отсюда при 🕻 = / для половины длины разреза будем иметь

$$d = \frac{8b}{\pi} \sum_{n=1}^{\infty} \frac{i^{2k+1}}{(2k+1)(1-i^{4k-2})}$$
 (1.4)

Приданая параметру  $\nu$  различные эначения и интернале  $0 < \nu < 1$  находим соответствующие значения d.



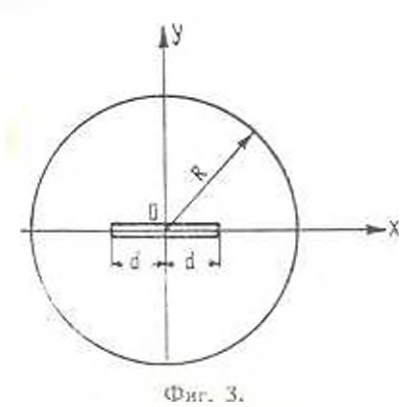
В случае, когда разрез длиной 2d проведен вдоль отрезка оси y и симметрично расположен относительно оси x (фиг. 2), отображающая функция (1.2) примет вид

$$z = 0 \ (\zeta) = \frac{4b}{\epsilon} \sum_{k=0}^{\infty} \frac{\zeta^{2k+1} - \frac{\lambda^{4k+2}}{\zeta^{2k+1}}}{(2k+1)(1+\lambda^{4k+2})}$$
 (1.5)

откуда, при  $i=i\hbar$ . будем иметь

$$d = \frac{8b}{2} \sum_{k=1}^{\infty} \frac{(-1)^k k^{2k+1}}{(2k+1)(1-k^{2k+1})}$$
 (1.6)

3. Рассмотрим случай, когда область G есть круг с диаметральным разрезом длипой 2d < 2R, симметрично расположенным относительно центра круга, принятого за начало координат (фиг. 3). Ось х проходит вдоль разреза.



Из (1.2) для рассматриваемого случая имеем

$$z = \omega(\zeta) = \sum_{i=1}^{\infty} a_{i,k+1} \left( \zeta^{i,k+1} + \frac{\lambda^{4k+2}}{\zeta^{2k+1}} \right)$$
 (1.7)

Уравнением внешнего контура области G будет  $zz = R^2$ . Внеся в вто уравнение (1.7) и приняв  $z = e^{i\theta}$ , приходим к бескопечной системе уравнений относительно

$$\sum_{k=0}^{\infty} (1+e^{8k+4}) a_{2k+1}^2 - R^2$$

$$\sum_{k=0}^{\infty} (1-e^{2k+1}) a_{2k+2n+1} - e^{2k+1}$$

$$= \sum_{k=0}^{\infty} e^{4k+1} a_{2k+2n+1} - e^{2k+1} a_{2k+2n+1} - e^{2k+1}$$

Решая эти уравнения с точностью до и методом последовательных приближений [1], находим

$$a_1 = R(1 - \lambda^4 - 2\lambda^8),$$
  $a_3 = -R\lambda^2(1 - 2\lambda^4)$   
 $a_5 = R\lambda^4(1 - 2\lambda^4),$   $a_7 = -R\lambda^8,$   $a_8 = R\lambda^8$ 

Пользуясь этими эначениями, из (1.7) получим

$$z = R \left[ (1 - \lambda^4 + 2\lambda^8) \left( \zeta + \frac{\lambda^2}{\zeta} \right) - \lambda^2 (1 - 2\lambda^4) \left( \zeta^3 + \frac{\lambda^6}{\zeta^3} \right) + \right.$$

$$\left. + \lambda^4 \left( 1 - 2\lambda^4 \right) \left( \zeta^5 + \frac{\lambda^{10}}{\zeta^5} \right) - \lambda^6 \left( \zeta^7 + \frac{\lambda^{14}}{\zeta^7} \right) + \lambda^8 \left( \zeta^9 + \frac{\lambda^{18}}{\zeta^9} \right) \right]$$
(1.8)

Приняв в (1.8) = 1, с принятой точностью находим

$$d = 2Rt \left(1 - 2t^8 + 5t^8\right) \tag{1.9}$$

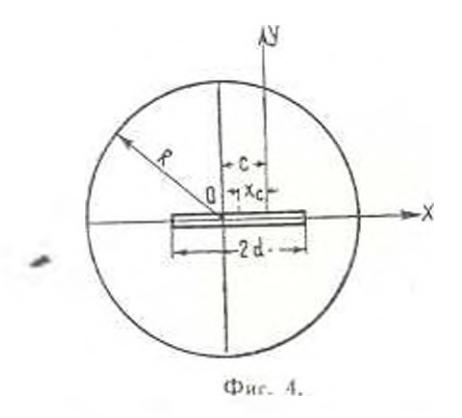
4. Рассмотрим теперь случай, когда область G есть круг с песимметричным относительно центра круга диамстральным разрезом длиной 2d < 2R. Направив ось x вдоль разреза (фиг. 4) и приняв m=0,  $a_b=a_L$ , из (1.2) получим

$$z = \alpha(\zeta) = \sum_{k=1}^{\infty} a_k \left(\zeta^k + \frac{k^{2k}}{z^k}\right) \tag{1.10}$$

Ураннение вчешнего контура области G предстаним и комплексной форме

$$zz + c(z + \bar{z}) = R - c^{-}$$
 (1.11)

где с - расстояние от центра круга до начала координат.



Внеся (1.10) при  $\zeta = e^{i\tau}$  в (1.11) и обозначив

$$v = \frac{c}{R}$$
,  $a_k - Ra_k$ 

приходим к бесконечной системе ураннений

$$u_{1} = (1 + \lambda^{4}) \qquad (1 - \nu^{2} - [(1 + \lambda^{5}) u^{2} + (1 + \lambda^{12}) u^{2} - \cdots])^{\binom{5}{5}}$$

$$u_{2} = -u^{-1} (1 + \lambda^{4n+2})^{-1} \cdot (1 + \lambda^{-6}) u_{2} u_{2n+1} + \sum_{k=2}^{\infty} [(1 + \lambda^{6k+4n-2}) u_{2k} u_{2k+2n-1} + (1 + \lambda^{-6}) u_{2k+1} u_{2k+1} + \sum_{k=1}^{\infty} (\lambda^{4k-2} u_{2k-1} u_{2k+2k+1} + \lambda^{4k} u_{2k} u_{2n+2k+1}) + (1 + \lambda^{-6}) u_{2k+1} + \sum_{k=1}^{\infty} (\lambda^{4k-2} u_{2k+1} u_{2n+2k+1}) + (1 + \lambda^{-6}) u_{2k+1} + \lambda^{4k} u_{2k} u_{2n+2k+1} + \lambda^{4k} u_{2k} u_{2k} + \lambda^{4k} u_{2k} u_{2k} + \lambda^{4k} u_{2k} u_{2k} + \lambda^{4k} u_{2k} u_{2k}$$

$$\begin{aligned} u_{2n-1} &= u_{-} (1 - \lambda^{4n+4})^{-1} \left\{ (1 - \epsilon^{4n}) u_{2n-1} + \frac{1}{2} \sum_{k=2}^{n-1} \left[ (1 + \epsilon^{8k+4n}) u_{2k} u_{2k} - (1 - \epsilon^{8k+4n-4}) u_{2k-1} u_{2k+2n+1} \right] + \frac{1}{2} \sum_{k=1}^{n-1} \left( \epsilon^{4k-1} u_{2k-1} u_{2n-2k-1} + \epsilon^{4k} u_{2k} u_{2n-2k} \right) + \left[ (1 - \epsilon^{4n}) u_{2n} \right] \\ u_{0} &= 0 \quad (n = 1, 2, \cdots) \end{aligned}$$

 $U_3$  этой системы уравнений методом последовательных приближений [1] могут быть найдены значения консчного числа коэффициентов  $u_t$ .

Определив эти коэффициенты для нечетных "k" с точностью до  $t^m$  у" при m+n=4 (m=0, 2, 4; n=0, 2, 4), а для четных "k" с точностью до  $t^m$  у" при m+n=5 (m=0, 2, 4; n=1, 3, 5) и приняв за исходное значение  $u_t^{(i)}=u_x^{(i)}=\cdots=0$ , отображающую функцию (1.10) представим в виде

$$z = R \left[ (1 - v^{2} - v^{2} h^{2} - h^{4}) \left( \zeta + \frac{h^{2}}{\zeta} \right) - \left( v + 2 h^{2} - h^{3} - 4 h^{2} v^{3} \right) \left( \zeta^{2} + \frac{h^{4}}{\zeta^{2}} \right) + \left( v^{2} - h^{2} + 5 v^{2} h^{2} - v^{4} \right) \left( \zeta^{3} + \frac{h^{6}}{\zeta^{3}} \right) + \left( 2 v h^{2} - v^{3} + 4 v h^{4} - 8 v^{3} h^{2} + v^{5} \right) \left( \zeta^{3} + \frac{h^{8}}{\zeta^{4}} \right) - \left( 3 v^{2} h^{2} - h^{4} - v^{4} \right) \left( \zeta^{3} + \frac{h^{10}}{\zeta^{5}} \right) + \left( 4 v^{3} h^{2} - 3 v h^{4} - v^{5} \right) \left( \zeta^{6} + \frac{h^{12}}{\zeta^{6}} \right) \right]$$

$$(1.12)$$

Принян в (1.12) - - с принятой точностью находим

$$2d = 4Rr(1 - v^2 - 2r^4) \tag{1.13}$$

а для абсциссы срединной точки разреза будем иметь

$$x_{\epsilon} = -2Ri^{2}v\left(1 + 2r^{2} - v^{2}\right) \tag{1.14}$$

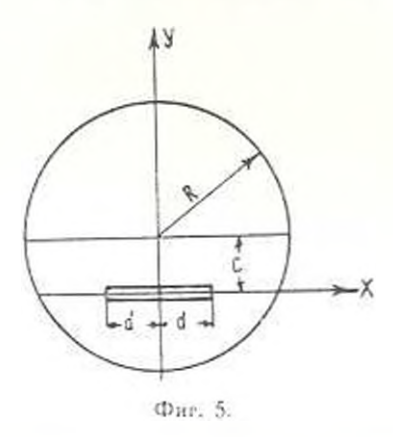
 Рассмотрим также случай, когда область (i есть круг с разрезом, показанным на фиг. 5.

В случае, когда область G симметрична только относительно оси у 1 ось х пронедена пдоль разреза, отображающая функция (1.2) приведется к ниду

$$z = m(\zeta) = \sum_{1}^{\infty} \left[ a_{2k-1} \left( \zeta^{2k-1} + \frac{\lambda^{4k-2}}{\zeta^{2k-1}} \right) + i a_{2k} \left( \zeta^{2k} - \frac{\lambda^{4k}}{\zeta^{2k}} \right) \right]$$
 (1.15)

Уравнение внешнего контура области G представим в комплексной форме

$$zz-ic(z-z)=R^2-\epsilon$$



В это урависние впеся (1.15) при  $\mathbb{I}=\mathbf{e}^{r'}$ , приходим в бесконечной системе уравиений

$$u_{2n} = u_{1}^{-1} \left(1 + e^{n-2}\right)^{-1} \left\{ (1 - e^{n-2})^{-1} \left\{ (1 - e^{n-2})^{-1} \right\} \left(1 - e^{n-2}\right)^{-1} \left\{ (1 - e^{n-2})^{-1} \left\{ (1 - e^{n-2})^{-1}$$

где

$$a_1 = \frac{a_k}{R}$$
,  $a_2 = \frac{c}{R}$ 

Из принеденной бесконечной системы уравнений методом последовательных приближений, с огоноренной выше точностью, определяем  $u_1, u_2, \cdots, u_m$ 

При этом отображающая функция (1.15) будет иметь пид

$$z = \sum_{1}^{3} \left[ a_{2k-1} \left( \zeta^{2k-1} + \frac{\zeta^{4k-2}}{\zeta^{2k-1}} \right) + i a_{2k} \left( \zeta^{2k} - \frac{\lambda^{4k}}{\zeta^{2k}} \right) \right]$$
(1.16)

где

$$a_1 = R(1 - v^2 + v^4), \quad a_2 = -R(v - 2u^2 - v^3 + 4v^3)^2)$$

$$a_3 = -R(v^2 - v^2)^2 - v^4), \quad a_4 = R(2u^7 - v^3 - 2vv^4 - 8v^3)^2 - v^5) \quad (1.17)$$

$$a_5 = R(v^4 + 3v^2)^2 - v^4), \quad a_4 = -R(3u^4 - 4v^2)^2 + v^5)$$

Приняв в (1.16)  $\tilde{z} = \ell e^{it}$ , получим значение абсулссы произвольной точки разреза

$$x = 2 \sum_{i=1}^{3} |a_{ik}|^{\frac{2k}{2}-1} \cos(2k-1) \theta - a_{ik}^{-2k} \sin(2k\theta)$$
 (1.18)

Для полонины длины разреза имеем  $d=x_{\max}$ .

Если принять, например,  $v=\ell=0.25$ , то из (1.18) найдем d=0.468R при  $\theta=6^241$ .

# § 2. Отображение области кольца на область, ограниченную нивне окружностью, а изнутри правильным многоугольником и наоборот

Обозначим через № (\*) функцию Кристоффеля-Шварца, конформно отображающую внешнюю область окружности радиуса р = г на внешнюю область правильного многоугольника. Эта функция разлагается в ряд

$$z_0 = -(1) = c\left(1 + \sum_{k=1}^{\infty} \frac{a_k}{a_k} - \frac{a_k}{a_k}\right) \tag{2.1}$$

где  $c \mapsto \text{постоянный параметр.}$   $m \mapsto \text{число сторон многоугольника,}$   $a_{-1} = \text{чанестные действительные постоянные, не зависящие от <math>\ell$ .

Иногда (2.1) принимают за приближенное выражение функции, конформно отображающей область кольца раднусами  $\iota = \iota < 1$  и  $\iota = 1$  на область  $G_i$  ограниченную изнутри правильным многоугольником, а изине окружностью L Точность такого приближения, очевидно, заинсит от значения  $\iota$ . Чем меньше — тем больше точность приближения.

Условие перехода внешней окружности кольца на окружносты / выражается формулой

$$w_0(e^{ib})w_0(e^{-ib}) = R^{\frac{1}{2}}$$
 (2.2)

где R — радиус охружности L.

Из (2.2), с учетом (2.1), получим

$$1 + \iota^{*} a_{m-1}^{*} + \dots + 2\iota^{m} a_{m-1} \cos mb +$$

$$+ 2\iota^{2m} a_{2m-1} \cos 2mb + \dots = \frac{R^{2}}{\epsilon}$$
(2.3)

Это уравнение будет точно выполняться тогда, когда все коэффициенты  $a_{mk-1}$  равны нулю, что можно было предвидеть заранее. Приближенно (2.3) будет ныполняться, если пренебречь и нем членами, содержащими множитель в степени m и больше. При этом из (2.3) получим

$$c = R \tag{2.4}$$

При указанной точности кривую L можно принять за окружность радиуса R.

Aля поньшения точности приближения кривой L к окружности радиуса R носпользуемся отображающей функцией

$$z = n_b(\zeta) - c n^n a_{n-1}^{-n+1}$$
 (2.5)

Тогда взамен (2.3) будем иметь

$$1 - 2^{k-1} - \dots - 2^{k-1} = -1 \cos 2m^{k} + \dots - \frac{R}{2}$$
 (2.6)

Это уравнение приближение удовлетворится, если в нем пренебречь членами, содержащими множитель в степени 2m и больше. При этом из (2.6) получится опять (2.4). Можно показать, что с той же точностью удовлетворяется условие перехода внутренней окружности кольца на внутренний контур области G.

Таким образом, функция (2.5), с учетом (2.4), с точностью 1 = 1 осуществляет условие перехода контуров кольца на контуры области G.

Перенишем (2.5) в окончательном виде

$$z = w(1) = R \left[ 1 + \sum_{mk=1}^{\infty} \frac{a_{mk-1}}{mk-1} - i^m a_{m-1}^{m-1} \right]$$
 (2.7)

В качестие примера рассмотрим случая отображения области кольца на область, ограниченную изнутри квадратом, а изпис окружностью.

За приближенное пыражение функции, конформно отображающей внешность окружности радиуса  $y=\lambda$  на внешность квадрата, с достаточной точностью можно принять первые три члена функции (2.1) при m=4:

$$z_0 = c \left( \frac{1}{5} - \frac{1}{65^{15}} \right) \tag{2.8}$$

Отображающая функция (2.7) примет вид

$$z = R\left(\zeta - \frac{\lambda^4}{6\zeta^2} + \frac{\lambda^8}{56\zeta^5} + \frac{\lambda^4}{6}\zeta^5\right) \tag{2.9}$$

2. Обозначим через функцию Кристоффеля-Шварца, отображающую область единичного круга на область правильного многоугольника. Эта функция разлагается и ряд Тейлора

$$\omega_0(\zeta) = c\left(\zeta + \sum_{k=1}^{\infty} a_{mk-1}\zeta^{mk-1}\right)$$
 (2.10)

где т по-прежнему число сторон многоугольника, о по изместные действительные постоянные.

Аналогично случаю предыдущего пункта можно показать, что

$$z = \omega(\zeta) = \frac{R}{\lambda} \left[ \zeta + \sum_{k=1}^{\infty} a_{mk+1} \zeta^{mk+1} - \frac{\lambda^{2m} a_{m+1}}{\zeta^{m-1}} \right]$$
 (2.11)

является приближенным выражением функции, конформно отображающей область кольца радиусами z=i<1 и y=1 на область  $G_i$  ограниченную изпутри окружностью радиуса  $R_i$  а изяне—правильным многоугольником. Приближенность указанного выражения заключается в том, что условие перехода контуров кольца на контуры области G удовлетноряется с точностью 1=1.

- § 3. Отображение области кольца на область, ограниченную изнутри правильным многоугольником с закругленными углами, а извие—замкнутой кривой, симметричной относительно осей симметрии указанного многоугольника
- 1. Известная руккция

$$z = c \left[ 1 - \frac{\lambda^m}{(m-1)^2 \cdot m^{-1}} \right]$$
 (3.1)

конформно отображает внешность окружности раднуса p = k на пнешность правильного m-угольника с закругленными углами. Коэффициент при втором члене (3.1) выбран из условия равенства нулю криниямы контура многоугольника в срединных точках его сторон [3].

Можно показать, что указанному условию удовлетворяет каждый член ряда

$$z = \omega(\zeta) = \sum_{k=0}^{\infty} a_{mk+1} \left[ \frac{\zeta^{mk+1} - \frac{(mk+1)^2}{(mk+m-1)^2} \frac{\lambda^{2mk+m}}{\zeta^{mk+m-1}} \right]$$
(3.2)

причем  $a_1$  0. Непосредственно яндно, что первый член (3.2) совпадает с (3.1). Согласно (3.2), когда точка описывает окружность радвуса  $\gamma = 1$ , точка z, недависимо от значений коэффициентов  $a_{nl+1}$  будет описывать правильный m-угольник с закругленными углами.

$$= \sum_{k=0}^{\infty} a_{mk-1} \left[ \frac{a_{mk-1}a}{(mk-1)^2} - \frac{(mk-1)^2}{(mk-m-1)^2} \right]$$
 (3.3)

2. Рассмотрим случай отображения области указанного кольца на область G, ограниченную изнутри правильным m-угольником с закругленными углами, а извне — правильным m-угольником, оси симметрии которых совнадают.

При определении ковффициентон  $a_{min}$  достаточно учесть уравнение той части контура внешнего m угольныка, для которой —  $\frac{1}{2}$  — . В этом интернале x const a, следонательно, согласно (3.3)

$$\sum_{k=1}^{\infty} a_{nk+1} \left| \cos \left( mk - 1 \right) \cdot 5 - \frac{(mk-1)^2}{(mk+m-1)^2} \right|^{2nk+m} \cos \left( mk+m-1 \right) \cdot 5 \left| -a \right|$$

$$\left( -\frac{\pi}{m} \leqslant 9 \leqslant \frac{\pi}{m} \right)$$
(3.4)

В промежутке  $\left(-\frac{1}{m}, \frac{1}{m}\right)$  функции  $\cos mn^{\frac{1}{2}} (n=0, 1, 2, \cdots)$  образуют полную систему, поятому для определения  $a_{m1}$  умножим (3.4) на  $\cos mn^{\frac{1}{2}}d^{\frac{1}{2}}$  и проинтегрируем результат от  $-\frac{1}{m}$  до  $\frac{1}{m}$ .

Обозначин при этом

$$(-1)^* a_{mk-1} = \frac{\pi a}{m \sin \frac{\pi}{m}} u_{mk-1}$$
 (3.5)

приходим и бесконечной системе ураннений относительно и

$$\geq \frac{(mk-1)u}{(mn-mk-1)(mn-mk-1)} \left[ 1 - \frac{1}{mk} \right]$$

$$\frac{(mk-1)(mn-mk-1)(mn-mk-1)^{\frac{1}{2}-mk-m}}{(mk+m-1)(mn-mk-m-1)(mn-mk+m-1)}$$

$$(n=0, 1, 2, \cdots)$$
(3.6)

где

$$\alpha_n = -1, \quad \alpha_1 = \alpha_2 = \cdots = 0 \tag{3.7}$$

Из ураппений (3.6) можно найти приближенные милчения конечного числа коэффициентой  $u_{mk-1}$ , и тем самым из (3.2), с учетом (3.5), определить приближенное пыражение отображающей функции.

Покажем, что систему (3.6), при некотором ограничении значений параметра 4, можно привести к регулярному пиду.

Аегко проверить, что указанную систему можно видонаменить так:

$$\sum_{m=1}^{\infty} \left| \frac{1}{mn - mk - 1} - \frac{1}{mn + mk - 1} - \frac{(mk + 1)^{2}}{(mk + m - 1)^{2}} \right|^{2mk} = \times \left( \frac{1}{mn - mk - m + 1} - \frac{1}{mn + mk + m - 1} \right) = 2x_{n}$$
 (3.8)

Заменив в (3.8) п на n 1 и вычтя полученную систему из (3.8) (известный прием, указанный в [1]), приходим к новой бесконечной системе уравнении, которую занишем в следующем виде:

$$u_{mn-1} = \frac{m-1}{1+\nu_n} \sum_{\substack{k=0\\k+n}}^{\infty} u_{mk+1} \left[ A_{k,n} - B_{k,n} - \frac{(mk-1)^2}{(mk-m-1)^2} \right]^{2mk}$$

$$\times (C_{k,n} - D_{k,n}) \left[ -\frac{2(m-1)}{m(1+\nu_n)} z_n - (n=0, 1, 2, \cdots) \right]$$
(3.9)

где

$$A = \frac{1}{(mn - mk - 1)(mn - mk + m - 1)}$$

$$B = \frac{1}{(mn + mk - 1)(mn + mk + m + 1)}$$

$$C = \frac{1}{(mn - mk - m + 1)(mn - mk - 1)}$$

$$D = \frac{1}{(mn + mk - m - 1)(mn + mk + 2m - 1)}$$

$$\frac{m - 1}{(2mn + 1)(2mn + m + 1)} \frac{(mn + 1)^{2} e^{-nn + m + 1}}{(mn + m - 1)^{2}}$$

$$\frac{m - 1}{(2mn + m - 1)(2mn + 2m - 1)}$$

$$(3.10)$$

Легко проверить, что при k - n

$$A_{k,n} > 0$$
,  $B_{k,n} > 0$ ,  $C_{k,n} > 0$ ,  $D_{k,n} > 0$   
 $A_{k,n} = B_{k,n} = 0$   $C_{k,n} = D_{k,n} > 0$  (3.12)

и все эти величины стремятся к нулю, когда в отдельности k,  $n \to \infty$ . Нетрудно доказать справедливость оценки

$$a_{k,n} = \frac{(mk+1)^{2}t^{2nk}}{(mk-m-1)^{2}} \frac{a}{A_{k,n} - B_{k,n}} \frac{C_{k,n} - D_{k,n}}{A_{k,n} - B_{k,n}} \qquad \frac{(mk-m-1)(mn-mk-m-1)}{(mk-1)(mn-mk-m-1)}$$
(3.13)

откуда

при k < n

$$\left(1 - \frac{m-2}{mk-1}\right) \left[1 - \frac{2(m-1)}{mn-mk-m-1}\right]$$

$$\leq i^{m} (m-1) (2m-1)$$
(3.14)

при  $k \ge n$ 

$$\mu_{k,n} \leqslant i^m (m-1) \tag{3.15}$$

Из (3.14) и (3.15), потребовав выполнения неравенств

МИРУЛОП

$$A = \lfloor (m-1)(2m-1) \rfloor^{-1}$$
 (3.17)

Согласно (3.17) вначения к монотонно возрастают от 0.464 при m=3 до 1 при  $m=\infty$  .

Учитыная (3.17) и принян m>2, будем иметь опенку

$$\frac{(mn+1)^{2}}{(mn+m-1)^{2}} \stackrel{2mn-m}{=} \left[ 1 + \frac{m-1}{(2mn+m-1)(2mn-2m-1)} \right] \\
= \frac{2m(m-1)}{(m-1)^{2n-2}(2m-1)^{2n}} = \frac{2m(m-1)}{(2m-1)} \\
= \frac{m-1}{(2m+1)^{2n-1}} = \frac{m-1}{1!} \frac{2n-1}{2!} \frac{(2n-1)2n}{2!} \stackrel{2m}{=} \frac{m-1}{(2mn-1)(2mn-2m-1)}$$
(3.18)

Сопоставия (3.11) с (3.18), получим

$$0 \text{ H lim v} = 0$$
 (3.19)

Пользуясь (3.10), (3.12), (3.13), (3.16) и (3.19), получим условие регулярности системы (3.9)

$$\frac{m-1}{1+\nu_n} \sum_{k=0}^{\infty} \left| A_{k,n} - B_{k,n} - \frac{(mk-1)^2}{(mk+m-1)^2} e^{2\pi k} - (C_{k,n} - D_{k,n}) \right|$$

$$\leq \frac{m-1}{1+\nu_n} \sum_{k=0}^{\infty} A_{k,n} - \frac{1}{1-\nu_n} \left[ 1 - \frac{m-1}{m(mn-m-1)} \right] \leq 1$$
 (3.20)

причем последний знак равенства имеет место при л — — При выводе (3.20) использовано значение суммы ряда [4]

$$\sum_{\substack{k=0 \ k=n}}^{\infty} \frac{1}{(mn-mk-1)(mn-mk+m-1)} = \frac{1}{m-1} \left[ 1 - \frac{m-1}{m(mn+m-1)} \right]$$

Регулярная система (3.9), с учетом (3.7), поэволяет найти значения конечного числа неизвестных и с недостатком и избытком [1].

# § 4. Кручение стержня круглого поперечного сечения с разрезом, параллельным одному из диаметров круга

В качестве примера применения построенных отображающих функций рассмотрим задачу о кручении стержны с поперечным сечением в виде круга с разрезом, парадлельным одному из диаметроп круга (фиг. 5).

Задача кручения для двусвязной области легко решается, когда известна функция, конформно отображающая область кольца на эту двусиязную область [5]. Учитывая это, мы опускаем детали решения.

Будем пользоваться отображающей функцией (1.16). Функцию напряжений при кручении выберем в виде

$$\Phi = -\frac{\alpha \tau}{2} z \overline{z} + \alpha \tau R^2 \Phi_0 \tag{4.1}$$

<mark>гле :— отпосительный угол закручивания, Ф</mark> — гармоническая функцыя

$$\Phi_0 = A_0 = \sum_{i} [(A_{i+1} - A_0)^{-k-1} - B_0] = A_0 = A$$

 $A_k, B_k$  — искомые постоянные.

Пользуясь контурными условиями задачи:  $\Phi = 0$  при z = 1 и  $\Phi = C_0$  при z = 1, учитывая при этом (1.16), (4.1) и (4.2), находим

$$C_0 = \frac{\pi^2}{2} \sum_{i=1}^{n} (1 - i^{2k})^2 a_k^2$$

$$A_{0} = \frac{1}{2} \sum_{m=1}^{2} (1 - k) a_{k}^{2}$$

$$= \sum_{m=1}^{2k-1} (-1)^{m} k^{4k-2m} (1 - k^{2m}) a_{m} a_{2k-m}$$

$$= \sum_{m=1}^{2k-1} (-1)^{m} k^{4k-2m} (1 - k^{2m}) a_{m} a_{2k-m}$$

$$= \sum_{m=1}^{2k-1} (-1)^{m} k^{4k-2m} (1 - 2k^{2m}) a_{m} a_{2k-m}$$

$$= \sum_{m=1}^{2k-1} (-1)^{m} (1 - k^{4k-2m}) a_{m} a_{2k-m}$$

$$= \sum_{m=1}^{2k-1} (-1)^{m} (1 - 2k^{2m}) a_{m} a_{2k-m}$$

$$= \sum_{m=1}^{2k-1} k^{4k-2m} (1 - k^{2m}) a_{m} a_{2k-m-1}$$

$$= \sum_{m=1}^{2k-1} k^{4k-2m} (1 - k^{2m}) a_{m} a_{2k-m-1}$$

$$= \sum_{m=1}^{2k-1} k^{4k-2m} (1 - k^{2m}) a_{m} a_{2k-m-1}$$

$$= \sum_{m=1}^{2k-1} (-1)^{m} (1 - 2k^{2m}) a_{m} a_{2k-m-1}$$

Коэффициенты  $a_n$  определяются по (1.17). Таким образом, функция ф полностью определена. Крутящий момент определяется по формуле

$$M=2C_{c}F_{c}-2/\sqrt{\Phi dxdy}$$

Так как  $F_0 = 0$  (площаль, ограниченная разрезом, равна пулю), то

$$J = 2 \int_{0}^{1} \Phi dx dy = 2 \int_{0}^{1/2\pi} \Phi(y, -5) = 0 \quad (5e^{-x5})$$
 (4.3)

где

$$\omega (\varphi e^{\beta}) = \omega (\zeta) = \frac{dz}{d\zeta}$$

Касательные напряжения определим по формулам

$$z_{\tau} = -\frac{x\frac{\partial x}{\partial \theta} + y\frac{\partial y}{\partial \theta} - R^{2}\frac{\partial \Phi_{0}}{\partial \theta}}{\psi \left[\left(\frac{\partial x}{\partial \psi}\right)^{2} + \left(\frac{\partial y}{\partial \psi}\right)^{2}\right]^{\frac{1}{2}-2}}\psi^{\frac{1}{2}}$$
(4.4)

$$\tau_{s} = \frac{x \frac{\partial x}{\partial y} + y \frac{\partial y}{\partial y} - R^{2} \frac{\partial \Phi_{0}}{\partial y}}{\left[\left(\frac{\partial x}{\partial y}\right)^{2} + \left(\frac{\partial y}{\partial y}\right)^{2}\right]^{1/2}} pz$$
(4.5)

Согласно (1.16)

$$\begin{split} x &= \left. \sum_{1}^{3} \left[ \left. a_{2k-1} \left( p^{2k-1} + \frac{\tilde{r}_{1}^{4k-2}}{\tilde{r}_{2k-1}^{2k-1}} \right) \cos \left( 2k - 1 \right) \theta \right. \right. \\ &\left. - a_{2k} \left( p^{2k} + \frac{\tilde{h}^{4k}}{\tilde{r}_{2k}^{2k}} \right) \sin 2k \theta \left. \right] \right. \\ y &= \left. \sum_{1}^{3} \left[ \left. a_{2k-1} \left( p^{2k-1} - \frac{\tilde{h}^{4k-2}}{\tilde{p}^{2k-1}} \right) \sin \left( 2k - 1 \right) \theta + \right. \\ &\left. + \left. a_{2k} \left( p^{2k} - \frac{\tilde{h}^{4k}}{\tilde{p}^{2k}} \right) \cos 2k \theta \left. \right] \right. \end{split}$$

Для получения числовых результатов рассмотрим случай

$$y = i = 0.25$$

Из (1.17) имеем

$$a_1 = 0.93750000R$$
,  $a_2 = -0.20703125R$   
 $a_3 = -0.10156250R$ ,  $a_4 = 0.03613280R$   
 $a_4 = 0.01953125R$ ,  $a_5 = -0.00781250R$ 

Далее находим

$$A_0 = 0.4686322,$$
  $A_1 = -0.2327116$   
 $A_2 = -0.0536258,$   $A_3 = 0.0259236$   
 $A_4 = 0.0137898,$   $A_4 = -0.0051192$   
 $A_6 = 0.0011763,$   $A_7 = -0.0004733$   
 $A_8 = -0.0000068,$   $A_9 = 0.0000002$   
 $A_{10} = A_{12} = 0,$   $A_{11} = 0$   
 $B_1 = -0.2082840,$   $B_2 = 0.9205706$   
 $B_3 = 0.4098398,$   $B_4 = -0.2447764$ 

2 Известия АН Армянской ССР, Механика, № 3

$$B_5 = -0.1140064$$
,  $B_6 = 0.0607212$   
 $B_5 = 0.0296006$ ,  $B_8 = -0.0085008$   
 $B_6 = -0.0029980$ ,  $B_{10} = 0.0009460$   
 $B_{11} = 0.0003052$ ,  $B_{12} = -0.0000610$ 

Значение постоянного коэффициента  $C_0$  не приводится, так как он исключен из выражения крутящего домента.

Из (4.3) находим

$$M = 0.4932 \text{mg·R}^{\text{T}} \tag{4.6}$$

Для сравнения и процерки точности вычислений принедем значения крутящего момента:

для круга радиуса 
$$R$$
 без разреза  $M=0.5$ = $\mu$ т $R^+$  (4.7)

для кольца с внешням радиусом R и с внутренним радиусом 0.5R M=0.4688=a-R

для кольца с внешним радиусом R, внутренняя окружнесть которого проходит через крайние точки рассматриваемого разреза (внутренний радиус  $\approx 0.56R$ )

$$M = 0.4509 \text{mas} R^{1}$$

Согласно (4.6) и (4.7) рассматриваемый разрез не оказывает существенного влияния на значение крутищего момеята.

Значения касательных напряжений  $T_0$  (1 — 0) на внешнем контуре сечения (2 — 1) и в точках разреза (2 — r = 0.25) припедены в табл. 1. Из этой таблиды видно, что наибольшее и наименьшее напряжения на внешнем контуре мало отличаются друг от друга ( $T^0$ <sub>10</sub>), при этом наибольшее напряжение отличается от наибольшего касательного напряжения круглого сечения без разреза (  $T^0$ ) на  $T^0$ 0.

Таким образом, рассматриваемый разрез не оказывает существенного влияния на величину и распределение касательных вапряжений внешнего контура.

 ${
m B}$  точках разрева y=--0, воходетние чего  ${
m o}_{1}$ мула 4.5 прощается

$$\tau_{ij} = -\frac{\partial \Phi_{ij}}{\left|\frac{\partial y}{\partial z}\right|} R^{ij} c$$
 (4.8)

На ковиах разреза ( $x = \pm 0.468 R$ ,  $\theta = 6.41^{\circ}$  в 180 — 6.41°)

$$\frac{\partial g}{\partial z} = 0, \quad \frac{\partial \Phi_0}{\partial z} = 0$$

Вследствие этого в указанных точках = = -

Легко показать, что главный вектор касательных усилий, действующих в окрестности каждой из крайних точек разреза, стремится к нулю, то есть что в указанных точках имеет место копцентрация напряжений

					Таблиц
1,0	2 0.25	$\gamma = 1$	y = 1	p 0.25	9 1
	R		9. R	To per R	14.1911
-90	0	0	0 7475	0.0126	0.9818
-80	0.0740	0.1376	-0.7407	0,0216	0.9786
- 70	0.1462	0.2719	0.7129	0.0487	0.9742
60	0.2149	0,3981	-0.6670	0,0951	0.9790
-50	0.2785	0.5113	-0.6062	0.1629	0.9992
40	0.3352	0.6099	-0.5362	0.2570	1.0273
-30	0.3837	0.6970	-0,4610	0.3891	1,0400
20	0.4225	0.7771	0.3797	0.5901	1.0210
-10	0.4502	0.8509	0.2868	0.9693	0.9887
<b>-</b> 5	0.4595	0.8842	0.2345	1.3661	0.9773
0	0.4656	0.9140	-0.1779	2.3261	0.9726
- 5	0.4683	0.9395	0.1173	9.7421	0.9754
6 41	0.4680			200	
- 10	0.4676	0.9602	-0,0532	3.5177	0.9850
15	0.4632	0.9758	0.0140	1.2593	0.9996
20	0.4552	0.9866	0.0841	0.6378	1.0157
÷25	0.4435	0.9928	0.1573	0.3314	1.0291
30	0.4281	0.9944	0.2343	0.1402	1.0362
+35	0.4089	0.9910	0,3163	0.0046	1.0352
40	0.3860	0.9811	0,4045	-0.0993	1.0276
+ 15	0.3595	0.9624	0.4997	-0.1826	1.0164
55	0,2964	0.8858	0.7103	-0.3087	0.9965
<del></del> 65	0,2213	0,7338	0.9312	-0.3962	0.9893
-75	0.1368	0.4915	1.1225	0.4526	0.9918
+80	0.4921	0.3398	1.1914	-0.4701	0.9941
9(1	0	()	1.2501	0.4840	0.9966

В табл. 2 приведены значения касательных напряжений  $\tau_0$  ( $\tau=0$ ), возникающих в точках оси симметрии сечения (в точках оси y).

Tabenao 2

6 -s/2			η 2		
2	g/R	To /(all R	9.	y'R	$\tau_{q}/scR$
0.25	0	0.0126	0.25	0	-0.4849
0.30	0.0779	0.1619	0.30	0.0977	-0.3037
0.35	0.1453	0.2752	0.35	0.1839	-0.1615
0.40	0.2058	0.3665	0,40	0.2638	-0.0564
0.45	-0.2615	0.4436	0.45	0.3405	0.0409
0.50	-0.3138	0.5110	0,50	0.4156	0.1286
0.55	-0.3634	0.5776	0.55	0,4903	0.2144
0_60	-0.4109	0.6273	0.60	0.5655	0.2937
0.65	0.4567	0.6795	0 65	0.6419	0.3758
0.70	0.5012	0.7289	0.70	0.7200	0.4556
0.75	-0.5446	0.7763	0.75	0.8003	0.5383
0.80	-0.5870	0.8222	0.80	0.8832	0.6231
0.85	-0.6287	0.8670	0.85	0.9692	0.7153
0.90	-0.6696	0.9110	0.90	1.0587	0.8019
0.95	-0.7100	0.9545	U.95	1 1522	0.8976
1.00	-0.7498	0.9818	1.00	1.2501	0.9966

В этих точках

$$x = 0, \quad \theta = \pm \frac{\pi}{2}, \quad 0.25 < \rho < 1$$

$$\frac{\partial x}{\partial \rho} = 0, \quad \frac{\partial y}{\partial \rho} = \pm \sum_{1}^{3} (-1)^{k-1} \alpha_{2k-1} (2k-1) \left(e^{2k-2} + \frac{e^{4k-2}}{\rho^{2k}}\right)^{+}_{-}$$

$$\frac{1}{2} \sum_{1}^{3} (-1)^{k} \alpha_{2k} \left(e^{2k-1} + \frac{e^{4k}}{\rho^{2k-1}}\right)$$

$$\frac{\partial \Phi_{0}}{\partial \rho} = \pm 2 \sum_{1}^{6} (-1)^{k} \left(A_{2k}e^{2k-1} - \frac{e^{4k}B_{3k}}{\rho^{2k+1}}\right) \mp$$

$$\pm \sum_{1}^{6} (-1)^{k-1} (2k-1) \left(A_{2k-1}e^{2k-1} - \frac{e^{2k-2}B_{2k-1}}{e^{2k}}\right)$$

$$\pm \frac{g \frac{\partial y}{\partial \rho} - R^{\frac{1}{2}} \frac{\partial \theta}{\partial \rho}}{\left|\frac{\partial y}{\partial \rho}\right|} = 0$$

Из двойных знаков верхний относится к значениям  $y \geq 0$ , а нижний—к значениям y = 0.

Ереванский полнтехинческий институт нм. К. Маркса

#### O. U. UILANARAUN

# ՄԻ ՔԱՆԻ ԵՐԿԿԱՊ ՏԻՐՈՒՅԹՆԵՐԻ ՀԱՄԱՐ ԿՈՆՖՈՐՄ ԱՐՏԱՊԱՏԿԵՐՄԱՆ ՖՈՒՆԵՅԻԱՆԵՐԻ ԿԱՌՈՒՑՈՒՄԸ ԵՎ ԳՐԱՆՑԻՑ ՄԵԿԻ ԿԵՐԱՌՁԻՄԸ ՈԼՈՐՄԱՆ ԽՆԳՐՈՒՄ

# Underdent

Լորանի չարրի օգնունկան կատուցված են օգակի ահրույնը մի բանի երկհապ տիրույններն վրա կոնֆորմ արտադատկերման ֆունկցիաներ։ Դրանց կառուցումը համեմատարար հեյտ է իրադործվում, երբ երկկապ տիրույնը ներսից սահմանափակված է ուղղագիծ ճեղբով, իսկ դրսից՝ պարզ եղրաղծով։ Դիտարկված են ուղղագիծ ձեղբ ունեցող անվերջ շերտի և շրջանի տիրույնների արտապատկերման մի բանի դեպքեր։ Գիտարկված են նաև արտապատկերման այլ դեպքեր։

ձեղը ունեցող չրջանի արտապատկերման ֆունկցիան, այն դեպքում, երբ նեղթը դուդաներ է շրջանի արտմագծերից մեկին օդատղործվել է համապատասիան կարվածը ունեցող ձոգի ոլորման ինդիրը լուծելիու

# CONSTRUCTION OF SOME CONFORMAL MAPPING FUNCTIONS FOR DOUBLE-CONNECTED REGIONS AND THEIR APPLICATION TO THE TORSION PROBLEM

#### O. M. SAPONJIAN

#### Summary

This paper presents constructions of Laurent's series that map a circular ring onto some double-connected regions. Such transformations are comparatively easy to realize when the inner rim is a linear crack and the outer rim is a plane curve. Transformations of some cases of infinite strips and disks with a linear crack are considered. Other mappings are also presented.

The transformation of a circular ring onto the region of a circle with the crack which is parallel to the diameter is used to solve the corresponding problem of torsion.

#### **ЛИТЕРАТУРА**

- Канторович Л. В. и Крылов В. П. Приближенные методы высшего вназива. Гостомнадат, Л.-М., 1952.
- 2 Угодинков А. Г. Боков В. В., Кулагин Ю. М. К решению плоских задач теорик пластичности в принодинейных копраципатах. Методы решения задач упругости и пластичности, Горький 1969.
- 3. Нейман М. И. Напряжении в балке с хриволинейным отверстием. М., 1937.
- Градитейн И. С., Рыжик И. М. Таблицы интегрелов, сумм, рядов и произведений. Физматена, М., 1962.
- Мускелишвили П. И. Некоторые основные ладочи математической геории упругоети. М., 1954.